

مقایسه Marginal gap دو آلیاژ بیس متال (مینالوکس و ورابند۲) در مراحل پخت پرسلن

دکتر عباس منزوی* - دکتر شیرین لواف**

* استادیار گروه آموزشی پرتوزهای دندانی دانشکده دندانپزشکی دانشگاه علوم پزشکی و خدمات بهداشتی، درمانی تهران

** استادیار گروه آموزشی پرتوزهای دندانی دانشکده دندانپزشکی دانشگاه علوم پزشکی و خدمات بهداشتی، درمانی اهواز

Title: A comparison on the marginal gap of two base metal alloys (Minalux, VeraBond2) during firing cycles of porcelain

Authors: Monzavi A. Assistant Professor*, Lavvaf Sh. Assistant Professor**

Address: *Dept. of Prosthodontics, Faculty of Dentistry, Tehran University of Medical Sciences

** Dept. of Prosthodontics, Faculty of Dentistry, Ahwaz University of Medical Sciences

Statement of Problem: Nowadays economical issues on high gold alloys have changed the practice of metal-ceramic restorations toward base-metal alloys. Minalux is one of the base-metal alloys produced in Iran. Marginal fitness is of high importance to be evaluated in dental alloys.

Purpose: The aim of the present study was to compare the marginal adaptation of two base-metal alloys, Minalux (Mavadkaran Co. Iran) and VeraBond2 (Albadent Co. USA) during firing cycles of porcelain.

Materials and Methods: In an experimental study 24 standard brass dies, with 135° chamfer finishing line were fabricated by Computer Numeric Controlled (CNC) milling machine. The samples were randomly divided in two groups, A and B, 12 in each. Following wax-up, the samples were equally cast with two mentioned alloys. In each group, there were 4 controlled samples, which proceeded to firing cycle without veneering porcelain. Scanning electron microscope (SEM) measurements of marginal gap from buccal and lingual aspects were performed after 4 stages of casting, degassing, porcelain application and glazing. The data were analyzed using Four-way ANOVA and multiple comparative test based on Tukey criteria.

Results: The findings of this study revealed that there was no significant difference in the marginal gap of Minalux ($31.10 \pm 7.8 \mu\text{m}$) and VeraBond2 ($30.27 \pm 6.96 \mu\text{m}$) with confidence level at 0.95 ($P=0.43$). For both alloys the greatest gap was observed after degassing stage ($P<0.05$). Porcelain and porcelain veneering proximity caused significant changes in the marginal gap of Minalux castings ($P<0.05$), however, such changes did not occur in VeraBond2 ($P<0.05$).

Conclusion: Based on the findings of this study, the marginal gaps of two base metal alloys, Minalux and VeraBond2, were proved to be identical and that of the Minalux alloy existed in the range of acceptable clinical application. It was also concluded that Minalux dental alloys could provide proper marginal adaptation.

Key words: Base metal alloy; Minalux; VeraBond2; Marginal Fitness; Marginal gap; Distortion; Thermal cycle; Porcelain firing

Journal of Dentistry. Tehran University of Medical Sciences (Vol. 17; No.1; 2004)

^{*} مؤلف مسؤول: دکتر عباس منزوی؛ تهران- خیابان انقلاب اسلامی- دانشگاه علوم پزشکی تهران- دانشکده دندانپزشکی- گروه آموزشی پرتوزهای دندانی تلفن: ۰۱۱۲۴۲۶
دورنما: ۰۶۰۱۱۲۲

چکیده

بیان مسأله: امروزه به دلیل افزایش قیمت آلیاژهای با طلای بالا (High Gold) تمایل بسیار چشمگیری به استفاده از آلیاژهای بیس متال در ترمیمهای فلز- سرامیک ایجاد شده است. یکی از آلیاژهای بیس متال تولید شده در داخل کشور، آلیاژ مینالوکس می باشد. در بررسی یک آلیاژ دندانی، تطابق مارژین از مهمترین خصوصیاتی است که باید مورد ارزیابی قرار گیرد.

هدف: مطالعه حاضر با هدف بررسی و مقایسه دو آلیاژ مینالوکس (ساخت شرکت مواد کاران وابسته به جهاد سازندگی) و وراباند ۲ (Albadent Co. USA) از لحاظ تطابق لبه‌ای در مراحل حرارتی پخت پرسلن انجام شد.

روش بررسی: در این مطالعه تجربی، تعداد ۲۴ عدد دای برنجی استاندارد با طرح Finishing Line چمفر 135° توسط دستگاه تراش Computer Numeric Controlled (CNC) تهیه گردید. مجموعه دای‌ها به دو دسته ۱۲ عددی A و B تقسیم شدند. پس از Wax Up، نیمی از نمونه‌ها با آلیاژ مینالوکس و نیم دیگر با وراباند ۲ ریخته شدن و سپس مراحل پخت پرسلن بر روی آنها انجام گردید. در هر گروه چهار نمونه کنترل وجود داشت که ونیر پرسلن نشدن و تنها مراحل حرارتی پخت پرسلن بر روی آنها انجام شد. تمامی نمونه‌ها پس از چهار مرحله Marginal Gap (Casting, Degassing, Glazing) از ناحیه باکال و لینگوال Scanning Electron Microscope (SEM) اندازه‌گیری شد. داده‌ها با استفاده از آزمون آنالیز واریانس چهار طرفه و آزمون مقایسات چند گانه با ملاک Tukey تحلیل شدند.

یافته‌ها: دو آلیاژ مینالوکس ($\mu\text{m} \pm 10/8$) و وراباند ۲ ($\mu\text{m} \pm 27/6/96$) با ۹۵٪ اطمینان اختلاف معنی‌داری را نشان ندادند ($P=0.43$). در هر دو آلیاژ بیشترین تغییرات Marginal Gap پس از مرحله دگازینگ به وجود آمد ($P<0.05$). مجاورت پرسلن و ونیر پرسلن در آلیاژ مینالوکس، موجب تغییرات معنی‌دار در تطابق لبه‌ای شد ($P<0.05$) ولی در آلیاژ وراباند ۲ تغییری در این مورد مشاهده نشد ($P>0.05$).

نتیجه‌گیری: طبق یافته‌های این مطالعه، تطابق لبه‌ای آلیاژ مینالوکس مشابه آلیاژ وراباند ۲ و Marginal Gap آلیاژ مینالوکس در محدوده کلینیکی قابل قبول می باشد و می توان با این آلیاژ تطابق لبه‌ای بسیار مناسبی را بدست آورد.

کلید واژه‌ها: آلیاژ بیس متال؛ مینالوکس؛ وراباند ۲؛ انطباق لبه‌ای؛ فاصله لبه‌ای؛ اعوجاج؛ مراحل حرارتی؛ پخت پرسلن

مجله دندانپزشکی دانشگاه علوم پزشکی و خدمات بهداشتی، درمانی تهران (دوره ۱۷، شماره ۱، سال ۱۳۸۳)

مقدمه

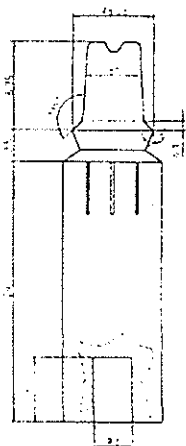
بهبود خصوصیات مکانیکی و موفقیت نسبی در کاربرد امروزه به دلیل افزایش قیمت آلیاژهای با طلای بالا (High Gold) تمایل بسیار چشمگیری به استفاده از آلیاژهای بیس متال در ترمیمهای فلز- سرامیک ایجاد شده است. آلیاژهای بیس متال امروزه به عنوان پرمصرف‌ترین گروه آلیاژهای متال سرامیک شناخته شده‌اند. قیمت مناسب و نیز

جدول ۱- ترکیب شیمیایی دو آلیاژ مینالوکس و وراباند ۲ (کاتالوگ کارخانه‌های سازنده)

آلیاژ	وراباند ۲	مینالوکس
Ni	% ۷۷/۰۵	عنصر پایه
Cr	% ۱۲/۵	
Mo	% ۴/۲۵	
Al	% ۲/۲۵	
Ti	% ۰/۴۵	
Nb	% ۴	
Si	% ۰/۱۵	

اکلوزوژنژیوالی ۶/۷۵ میلیمتر تراش با تقارب 6° (در هر طرف 3°) و نوع خط خاتمه تراش (Finishing Line) چمفر 135° تهییه گردید (فرم کلی دندان پره‌مولر). یک شیار اکلوزالی عرضی با عمق ۱ و عرض ۱/۵ میلیمتر به منظور جلوگیری از چرخش Coping بر روی دای ایجاد گردید.

دیواره‌های آگزیالی دای‌ها دارای طول مساوی و یکسان بودند. یک سوراخ در سطح تحتانی دسته نمونه‌ها به طول ۵ و قطر ۱۳ میلیمتر ایجاد شد که محل قرارگیری محور Metal Jig بود (تصویر ۱).



تصویر ۱- نمای شماتیک نمونه دای فلزی

مجموعه دای‌ها، به دو دسته ۱۲ عددی A و B تقسیم شدند که هیچ تفاوتی از نظر طرح تراش نداشتند و از هر نظر کاملاً مشابه بودند. برای استاندارد کردن ضخامت Wax up و Dual Wax Technique استفاده گردید. در این مرحله از موم سبز ریختگی (Fried Krupp Gmbh- Krupp) به ضخامت 0.4 mm و موم آبی اینله استفاده گردید. بر روی نمونه‌ها یک لایه مارژین روی سطح تراش زده شد. یک سنبه برنجی با ابعاد روشنه شده از دانشکده دندانپزشکی دانشگاه علوم پزشکی تهران انجام شد، از دای‌های فلزی (برنجی) تراش خورده توسط دستگاه CNC با دقیقاً $10 \mu\text{m}$ استفاده گردید. تعداد ۲۴ عدد دای به طول 30 mm و قطر $6/25 \text{ mm}$ میلیمتر، طول

در بررسی یک آلیاژ دندانی، تطابق مارژین از مهمترین خصوصیاتی است که باید مورد ارزیابی قرار گیرد که عوامل مختلفی بر آن تأثیر می‌گذارند؛ از جمله طرح تراش، مواد و روش قالبگیری، نوع ماده دای (Die Material)، نوع موم و روش استفاده از آن، مواد و روش‌های Investing، نحوه اسپروگذاری و انجام عمل ریختگی و نوع آلیاژ مورد استفاده.

عامل مهمی که بر تطابق مارژین تأثیر می‌گذارد، تغییر شکل مارژین است که به عقیده عده‌ای از محققان در مرحله پرسلن گذاری (۱، ۲، ۳، ۴) و به نظر عده‌ای دیگر در مرحله دگازینگ یا اکسیداسیون اولیه (۵، ۶، ۷، ۸) اتفاق می‌افتد.

آلیاژهای بیس متال از خواص مکانیکی و فیزیکی فوق العاده‌ای برخوردار هستند؛ Moffa معتقد است این آلیاژها دچار اعوجاج (Distortion) نمی‌شوند (۹)؛ در حالی که نظر Rensberg و Starting Svare Buchanan اعلام کردند که تغییرات مارژین در آلیاژهای غیرقیمتی بیشتر است (۱۰).

در این تحقیق دو آلیاژ مینالوکس و وراباند ۲ از لحاظ تطابق لبه‌ای در مراحل مختلف پخت پرسلن مورد بررسی و مقایسه قرار گرفتند؛ همچنین این که آلیاژها در طی کدام مرحله حرارتی دچار اعوجاج می‌شوند و در صورت ایجاد آن چه میزان عدم تطابق لبه‌ای ایجاد می‌گردد و آیا میزان Marginal gap (MG) این آلیاژها از لحاظ کلینیکی قابل قبول می‌باشد یا خیر نیز مورد بررسی قرار گرفت.

روش بررسی

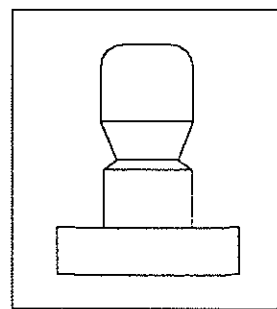
به منظور بررسی مقایسه‌ای MG در روکش‌های ساخته شده از آلیاژهای مینالوکس و وراباند ۲ در این تحقیق که در سال ۱۳۸۲ در دانشکده دندانپزشکی دانشگاه علوم پزشکی تهران انجام شد، از دای‌های فلزی (برنجی) تراش خورده توسط دستگاه تراش CNC با دقیقاً $10 \mu\text{m}$ استفاده گردید.

نمونه‌ها داخل مولد دو قسمتی قرار گرفتند و توسط یک حلقه فلزی در محل ثابت شدند (تصویر ۴). موم مذاب از سطح فوقانی مولد وارد شد و یک سوم ژئریوالی مولد را پر کرد. تا شکل کلی الگوی مومی در ناحیه ژئریوال ایجاد گردد. اضافه‌ها و پلیسه‌های احتمالی موم توسط Metal Jig حذف گردید. Metal Jig شامل یک صفحه عمودی است که فرم نهایی روکش بر روی آن Wire Cut شده است و بین دو سکو حرکت کشویی رفت و برگشت دارد. محوری رو به روی صفحه عمودی آن تعییه شده است که دسته نمونه‌ها از آنها بر روی آن قرار می‌گیرد (تصویر ۵).

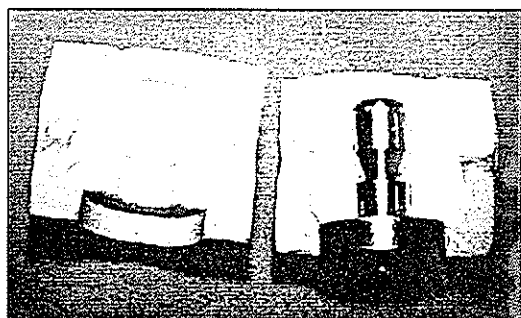
نمونه‌ها حول محور چرخانده شدند و اضافه موم تراشیده شد. با علامتی که بر روی صفحه عمودی مشخص شده بود، عرض کلار (Collar) مومی در قسمت پروگریمال و لینگوال نمونه‌ها به اندازه یک میلیمتر ایجاد گردید و در قسمت باکال مارژین به صورت Knife Edge ختم شد. الگوهای مومی تکمیل شده ۱۲ ساعت در محیط باقی ماندند تا تنش‌های ناشی از Wax up آزاد گردد؛ پس به منظور دقت مارژین، سه بار ناحیه مارژین با قلم PKT شماره ۱ ذوب گردید و فرم دادن مارژین تکرار شد؛ پس از آن بلافالسه اسپروگناری و انجام Investing.

سپس مرحله حذف موم و ریختگی مطابق دستور کارخانه انجام گردید؛ به این ترتیب نیمی از نمونه‌ها با آلیاژ مینالوکس Finishing و نیمی دیگر با آلیاژ وراباند ۲ ریخته شدند. برای و آماده‌سازی اسکلت فلزی، ابتدا Divesting و سپس Grinding اسکلت فلزی شامل قطعه اسپروها و گردکردن لبه‌های تیز، انجام شد.

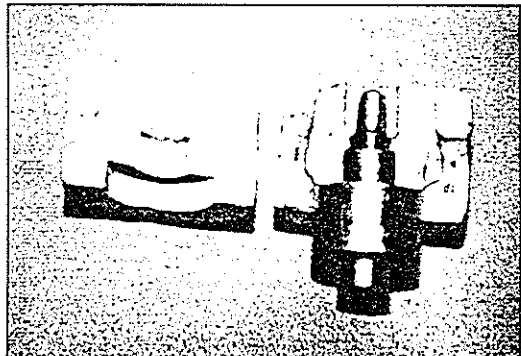
نشست کوپینگ‌ها با روز و کلروفرم و سپس Fit Checker (Speedex Light Body) ضخامت کوپینگ، پس از پرداخت با ضخامت‌سنچ گرفت. ضخامت کوپینگ، پس از پرداخت با ضخامت کوپینگ در (گیج طلا)، مورد بررسی قرار گرفت تا ضخامت کوپینگ در حدود $\frac{1}{3}$ میلیمتر باشد. برای پاک کردن سطح اکسید شده



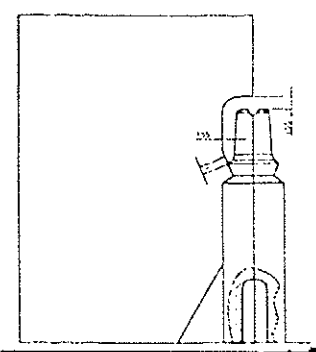
تصویر ۲- نمای شماتیک سنبه برنجی با ابعاد روکش نهایی



تصویر ۳- سنبه برنجی جهت ساخت مولد دو تکه‌ای



تصویر ۴- مولد دو تکه‌ای، دای فلزی و حلقه ثابت کشته

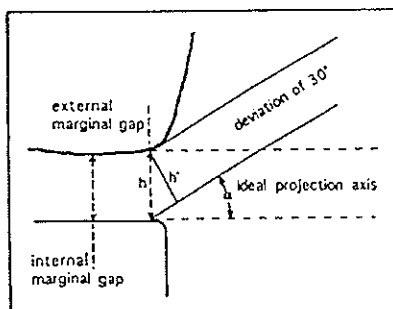


تصویر ۵- نمای شماتیک Metal Jig

شیار عرضی تقویت کننده، باعث اعوجاج بیشتر در باکال و لینگوال در کوپینگ های خلفی می شود (۱۰).

میانگین سه اندازه در سطح باکال نمایشگر میزان MG در سطح باکال بود؛ بدین ترتیب در تمامی الگوها اندازه گیریهای مشابهی در نقاط مشابه انجام شد. در این اندازه گیری از بزرگنمایی ۵۰۰ برابر استفاده گردید. اندازه گیری پس از ۴ مرحله حرارتی (کستینگ، دگازه کردن، پرسلن گذاری و گلیز) صورت گرفت. برای هر یک از مراحل فوق جداولی تهیه گردید که اعداد مربوط به آنها یادداشت و ثبت شدند.

داده های به دست آمده با استفاده از آنالیز واریانس چهار طرفه (ANOVA) تحلیل شدند. در صورت معنی دار بودن آزمون تحت آزمون تعقیبی (Post-Hoc) با ملاک Tukey قرار گرفتند.



تصویر ۶- نمای شماتیک محل مارزین هنگام ارزیابی Marginal gap

میانگین MG در سطوح باکال و لینگوال در مراحل مختلف حرارتی در دو آلیاژ مینالوکس و وراباند ۲ در دو گروه و نیز شده و و نیز شده در جدول ۲ ارائه شده است.

مجموع اندازه گیریهای MG توسط نرم افزار SPSS از نظر سطح معنی داری توسط آنالیز واریانس چهار طرفه مورد آزمایش قرار گرفت. MG دو آلیاژ مینالوکس (میانگین μm $31/10 \pm 7/8$) و وراباند ۲ ($30/27 \pm 6/96$ μm) با ۹۵٪ اطمینان تفاوت معنی داری را نشان نداد ($P=0/43$) و

اسکلت فلزی از سنبلاست با پودر آلمینیوم اکساید $50\text{ }\mu\text{m}$ و فشار حداقل 100 Psi استفاده گردید؛ سپس اسکلت فلزی با پنس گرفته شده و به وسیله حمام اولتراسونیک آب مقطر به مدت ۱۰ دقیقه شستشو داده شد. در مرحله دگازینگ اسکلت فلزی تا دمای 982°C (1800°F) بدون کاربرد خلاً حرارت دید. به محض رسیدن به این دما اسکلت فلزی از کوره خارج و در هوا خنک شد. پودر اپک و پرسلن (Cerameco II, USA) مورد استفاده در این تحقیق با آلیاژهای به کار رفته، سازگار بود.

در اپک و پرسلن گذاری دقیقاً از دستورات کارخانه سازنده پودر پرسلن مورد استفاده، تبعیت گردید. ضخامت اپک 0.3 mm میلیمتر و برای یکنواخت کردن ضخامت پرسلن در تمام نمونه ها از مولد دو تکه ای و Metal Jig استفاده گردید (تصویر ۵).

از هر گروه آلیاژ ۴ نمونه به عنوان گروه شاهد در نظر گرفته شدند. کوپینگ های گروه شاهد تمام مراحل حرارتی پخت پرسلن را مثل دیگر نمونه ها طی کردند؛ اما پرسلن گذاری نشدند. نمونه ها برای گلیزشدن، ۳ دقیقه در مجاورت کوره و سپس داخل کوره با درجه حرارت 1200°F قرار گرفتند و حرارت کوره تا 1800°F در فشار اتمسفر بالا رفت. به محض رسیدن به دمای 1800°F ، کوپینگ ها از کوره خارج شدند.

یافته ها

برای اندازه گیری MG از Scanning Electron Microscope (SEM) استفاده شد. برای مشاهده فاصله بین ناحیه لبه ای روکش و دای، هر نمونه به گونه ای تنظیم شد که MG به صورت فاصله عمودی بین دو سطح اندازه گیری شود (تصویر ۶).

به دلیل وجود شیار اکلوزالی عرضی در این تحقیق اندازه گیریهای اولیه در هر دو سطح باکال و لینگوال در مجاورت خطی که در وسط سطوح باکال و لینگوال ترسیم شده بود، انجام گرفت؛ زیرا بر اساس مطالعه Van der Zel

اندازه‌گیری یا Porcelain Proximity ($P=0.003$) تغییرات معنی‌داری را در MG باعث شد.

در گروه آلیاز و راباند ۲ مراحل حرارتی ($P<0.001$) موجب تغییرات معنی‌دار در MG نمونه‌ها شد ولی ونیر پرسلن Porcelain Proximity ($P=0.038$) و محل اندازه‌گیری، موج تغییرات معنی‌دار در MG نمونه‌ها نشد. اثر متقابل دیگر عوامل در هر دو گروه مورد بررسی قرار گرفت که هیچ‌کدام آنها از تفاوت معنی‌داری برخوردار نبودند ($P>0.05$). در آلیاز مینالوکس میانگین MG در مرحله پس از کستینیگ، دگازه کردن، پرسلن‌گذاری و گلیز به ترتیب $20/41 \mu\text{m}$, $33/58 \mu\text{m}$, $33/58 \mu\text{m}$ و $33/83 \mu\text{m}$ بود.

در آلیاز و راباند ۲ میانگین MG در مرحله پس از کستینیگ، دگازه کردن، پرسلن‌گذاری و گلیز به ترتیب $22/0.8$, $34/33$, $33/66$ و $31 \mu\text{m}$ بود.

با توجه به معنی‌دار بودن تغییرات MG در مراحل حرارتی در هر دو آلیاز، داده‌ها تحت آزمون تعقیبی (Post-HOC) با ملاک Tukey قرار گرفتند. تغییرات MG در هر دو آلیاز پس از کستینیگ نسبت به MG پس از مرحله دگازه کردن، پرسلن‌گذاری و گلیز از سطح معنی‌داری برخوردار بود ($P=0.000$).

جدول ۲- میانگین Marginal gap در سطوح باکال و لینگوال، در مراحل مختلف حرارتی در دو آلیاز مینالوکس و و راباند ۲ در دو گروه ونیرشده و ونیرشده (برحسب میکرون)

نوع آلیاز	مراحل حرارتی									
	محل اندازه‌گیری					ونیر پرسلن				
	شاخهای توصیفی									
مینالوکس	میانگین	انحراف معیار	ونیر شده	باکال	پس از پخت پرسلن	پس از دگاز	پس از کستینیگ	پس از دگاز	باکال	لينگوال
	میانگین	انحراف معیار	ونیرشده		لينگوال	باکال	باکال	باکال	باکال	باکال
	۳۷/۵	۴/۷۸	۳۶	۴۰/۵	۶/۸۶	۳۶	۳۶/۵	۲۰	۲۱/۲۵	۲/۷۵
	۵/۷۸	۴/۳۴	۴/۳۴	۳/۵۸	۵/۰۴	۳/۵۸	۵/۰۴	۲/۴۴	۳/۱۹	۰/۸۱
واباند ۲	میانگین	انحراف معیار	ونیر شده	باکال	پس از پخت پرسلن	پس از دگاز	پس از کستینیگ	پس از دگاز	باکال	لينگوال
	میانگین	انحراف معیار	ونیرشده		لينگوال	باکال	باکال	باکال	باکال	باکال
	۳۱	۳۳	۳۵	۳۱/۵	۳۰	۳۴/۵	۱۸	۲۲	۳۱/۸۳±۸/۲	۴/۲۴
	۰/۸۱	۲/۹۴	۳/۱۰	۲/۹۴	۵/۰۶	۳/۵۵	۲/۸۲	۲/۸۲	۲۹/۵۴±۶/۳۴	۳/۱۰
واباند ۲	میانگین	انحراف معیار	ونیر شده	باکال	پس از پخت پرسلن	پس از دگاز	پس از کستینیگ	پس از دگاز	باکال	لينگوال
	میانگین	انحراف معیار	ونیرشده		لينگوال	باکال	باکال	باکال	باکال	باکال
	۳۱	۳۱	۳۵	۳۴	۳۱	۳۷/۵	۲۱	۲۳/۵	۳۱/۸۳±۸/۲	۵/۵۷
	۰/۲۲	۲/۱۶	۶	۲/۷۷	۵/۸۵	۲/۲۶	۲/۰۷	۲/۰۷	۳۰/۵۴±۶/۳۴	۳/۱۶
واباند ۲	میانگین	انحراف معیار	ونیر شده	باکال	پس از پخت پرسلن	پس از دگاز	پس از کستینیگ	پس از دگاز	باکال	لينگوال
	میانگین	انحراف معیار	ونیرشده		لينگوال	باکال	باکال	باکال	باکال	باکال
	۳۰	۳۰/۵	۳۲	۳۲	۳۴	۳۵	۲۳	۲۰/۵	۳۱/۸۳±۸/۲	۴/۷۲
	۰/۵۵	۳/۹۱	۹/۲	۲/۵۸	۸/۳۲	۳/۳۶	۱۱/۰۳	۱۱/۰۳	۳۰/۵۴±۶/۳۴	۳/۹۱

بیش از $50 \mu\text{m}$ باشد، مارژین باز است و تطابق ندارد. (۱۳). به عقیده Mclean و Fraunhofer تطابق در محدوده $10/\text{mm}^2$ قابل قبول می‌باشد (۱۴).

در این تحقیق MG دو آلیاژ مینالوکس $(31/96 \pm 8/3 \mu\text{m})$ و ورباند $2 (31/10 \pm 7/8 \mu\text{m})$ و ورباند $2 (30/27 \pm 6/9 \mu\text{m})$ با $\%95$ اطمینان تفاوت معنی‌داری را نشان نداد ($P > 0.05$) که مقایسه آن با نتایج سایر مطالعات انجام شده (۱۴، ۱۳، ۱۲) نشان می‌دهد که MG هر دو آلیاژ در محدوده قابل قبول کلینیکی قرار دارد.

با بررسی میانگین MG تمامی نمونه‌ها در مراحل حرارتی پخت پرسلن، نشان داده شد که بیشترین تغییرات MG در مرحله دگاز ($12/7 \mu\text{m}$) و پس از آن در مرحله گلیز ($-2/71 \mu\text{m}$) اتفاق می‌افتد.

رابطه تطابق مارژین و مراحل حرارتی پخت پرسلن در مطالعات متعددی مورد بررسی قرار گرفته است. تنها در دو مطالعه اولیه، پرسلن گذاری بزرگ‌ترین عامل تغییردهنده MG در سیکل حرارتی معرفی شده است و بیشتر تحقیقات اخیر گزارش کرده‌اند که بیشترین تغییرات ابعادی در مرحله اکسیداسیون (دگاز) اتفاق می‌افتد و تنها تغییرات مختصری در دیگر مراحل پخت پرسلن ایجاد می‌شود (۱۶، ۱۵، ۸، ۷، ۵).

به عقیده Buchanan و Svare علت افزایش MG در مرحله دگاز در آلیاژهای بیس متال، تشکیل لایه اکسید در سطح داخلی کوپینگ می‌باشد (۷).

Campbel و Pelletire علت ایجاد اعوجاج در مرحله اکسیداسیون را، آزادشدن تنش‌های ناشی از ریختگی و Cold Working سطحی در آماده‌سازی فلز برای پخت پرسلن می‌دانند و اعلام کردند که این دو عامل اثر Synergistic در ایجاد اعوجاج دارند (۵).

در مطالعه ما بیشترین میزان اعوجاج در مراحل دگاز و گلیز اتفاق افتاد؛ شاید به این علت که در این دو مرحله اسکلت فلزی بیشترین دما را متحمل می‌شود و با سرعت

در آلیاژ مینالوکس، بین MG نمونه‌های ونیرشده $(31/96 \pm 8/3 \mu\text{m})$ و ونیرشده $(29/37 \pm 6/5 \mu\text{m})$ اختلاف معنی‌داری وجود نداشت ($P = 0.006$).

در گروه آلیاژ ورباند۲، بین MG نمونه‌های ونیرشده $(30/59 \pm 6/67 \mu\text{m})$ و ونیرشده $(29/62 \pm 7/59 \mu\text{m})$ اختلاف معنی‌داری وجود داشت ($P = 0.028$).

در آلیاژ مینالوکس، MG در سطح باکال نمونه‌ها $(29/5 \pm 7/0.1 \mu\text{m})$ و در سطح لینگوال ($29/5 \pm 7/0.1 \mu\text{m}$) اختلاف معنی‌داری را نشان داد ($P = 0.003$).

در گروه آلیاژ ورباند۲، MG در سطح باکال نمونه‌ها $(30/95 \pm 8/0.6 \mu\text{m})$ و در سطح لینگوال ($29/58 \pm 5/6 \mu\text{m}$) اختلاف معنی‌داری را نشان نداد ($P = 0.39$).

بحث و نتیجه‌گیری

اعوجاج در رستوریشن‌های فلز- سرامیک به صورت تغییرات مارژینال پس از کستنیگ و در مراحل پرسلن گذاری مشاهده می‌شود که ممکن است منجر به قطع پروتز از محل اتصال‌دهنده‌ها و لحیم مجدد آن در پروتزهای طویل و یا ساخت مجدد روکش یا FPD شود. اگر این تصحیح انجام نگردد، فضای بین ترمیم و دندان تراش خورده، محل مناسبی برای تجمع پلاک و به دنبال آن پوسیدگی و التهاب لته خواهد بود.

مطالعات انجام شده در زمینه Marginal Distortion و نوع فلز، نتایج متنوعی را نشان داده است. Buchanan و Svare در گزارش خود Marginal Discrepancy بیشتری را در آلیاژ غیرقیمتی ($68 \mu\text{m}$) نسبت به آلیاژ قیمتی ($8 \mu\text{m}$) اعلام کردند (۷).

به عقیده Chiristensen حداقل Marginal gap قابل قبول $39 \mu\text{m}$ است (۱۲).

Shillingburg و همکاران اعلام کردند که اگر در مرحله امتحان اسکلت فلزی (Framework) میزان MG

(۱۶، ۱۵، ۸، ۷) یکسان و با برخی دیگر مغایرت دارد (۲۱، ۴). علت تغییرات برجسته MG در مرحله دگاز می‌تواند به علت آزادشدن تنش باقیمانده ناشی از Solidification آلیاژ و آزادشدن تنش ناشی از Cold Working و پرداخت سطح آلیاژ باشد.

MG در آلیاژ مینالوکس نمونه‌های ونیرشده ($۳۱/۹۶\pm ۸/۳ \mu\text{m}$) و ونیرنشده ($۳۹/۳۷\pm ۶/۵ \mu\text{m}$) اختلاف معنی‌دار را نشان داد ($P=0.006$) که علت آن می‌تواند انقباض و Warpage پرسلن و تنش‌های برشی بین فلز و پرسلن، رشد دانه‌ای یا آلودگی فلز و یا به علت آلودگی سطح داخلی کوپینگ به ذرات پرسلن باشد.

در گروه آلیاژ و راباند ۲ اختلاف معنی‌داری بین گروه ونیرشده و ونیرنشده مشاهده نشد ($P>0.05$). علت اختلاف عملکرد بین دو گروه آلیاژ نسبت به ونیر پرسلن، می‌تواند ناشی از تفاوت انبساط حرارتی دو آلیاژ باشد. انبساط حرارتی و راباند ۲ ($۱۴/۱\times 10^{-6}/^\circ\text{C}$) نسبت به آلیاژ مینالوکس پرسلن II Ceramco دارد و این امر می‌تواند موجب ایجاد تنش‌های برشی بیشتری بین سطوح آلیاژ مینالوکس و پرسلن و متعاقب آن افزایش اعوجاج گردد.

از طرفی به علت پایین بودن نقطه ذوب آلیاژ مینالوکس ($۱۲۰.۵-۱۲۴.۰^\circ\text{C}$) نسبت به نقطه ذوب آلیاژ و راباند ۲ ($۱۳۳.۰-۱۳۶.۰^\circ\text{C}$)، این امکان وجود دارد که آلیاژ مینالوکس مقاومت کمتری نسبت به Sag نشان دهد. افزایش Plastic Flow و خرش آلیاژ مینالوکس در دمای بالای پخت پرسلن نسبت به آلیاژ و راباند ۲ را می‌توان دلایل احتمالی تفاوت این دو آلیاژ در Porcelain Veneering Porcelain دانست.

MG در گروه آلیاژ مینالوکس نمونه‌ها در سطوح باکال و لینگوال اختلاف معنی‌داری را نشان داد ($P=0.003$ ؛ بنابر این یافته، وجود کلار ۱ میلیمتری در سطح لینگوال، در کاهش میزان MG در این ناحیه مؤثر می‌باشد. البته تفاوت

بیشتری از کوره پخت پرسلن، خارج می‌شود؛ در نتیجه سریع سرد شدن اسکلت فلزی می‌تواند باعث افزایش اعوجاج گردد. Nicholls و Bridger معتقد است که اعوجاج ناشی از Elastic Deformation اسکلت فلزی در مرحله گلیز پس از برداشت پرسلن، برگشت می‌کند (۶).

در مطالعه حاضر، میانگین MG تمامی نمونه‌های ونیرشده ($۳۱/۲۸\pm ۷/۵ \mu\text{m}$) نسبت به MG نمونه‌های ونیرنشده ($۲۹/۵\pm ۷/۰ \mu\text{m}$) تفاوت معنی‌داری را نشان داد ($P=0.014$)؛ البته تفاوت کمتر از $۲ \mu\text{m}$ می‌باشد که این می‌تواند به علت انقباض پرسلن (۱۸، ۱۷۶) اختلاف ضریب انبساط حرارتی فلز و پرسلن (۱۸، ۱۱۴) و یا آلودگی ریختگی (۳) باشد.

همچنین میانگین MG تمامی نمونه‌ها در سطح باکال ($۳۱/۸۳\pm ۸/۲ \mu\text{m}$) نسبت به MG نمونه‌ها در سطح لینگوال ($۲۹/۵\pm ۶/۳۴ \mu\text{m}$) تفاوت معنی‌داری را نشان داد ($P=0.009$) تفاوت، مختصر و در حد $۲ \mu\text{m}$ بود و علت آن می‌تواند وجود یک Metal Cervical Bulk در عرض ۱ میلیمتر در سطح لینگوال باشد که موجب استحکام مارژین در سطح لینگوال و کاهش MG در این ناحیه شد.

اگرچه مقالات به دلیل استحکام بالای آلیاژ‌های بیس متال، وجود کلار را برای استحکام مارژین غیر ضروری می‌دانند (۲۰، ۱۹، ۱۶) ولی در مطالعه حاضر در مجموع نمونه‌ها، وجود یک کلار فلزی موجب کاهش MG شد؛ هرچند که میانگین MG در سطوح باکال و لینگوال هر دو در محدوده قابل قبول کلینیکی قرار داشت.

بررسی و تحلیل جدایانه داده‌ها در هر گروه آلیاژ نشان داد که میانگین MG اندازه‌گیری شده پس از کستینیگ، نسبت به تمامی مراحل دیگر از اختلاف معنی‌داری برخوردار است ($P=0.000$) و بیشترین تغییرات MG در مرحله دگاز در آلیاژ مینالوکس ($۱۳/۱۷ \mu\text{m}$) و راباند ۲ ($۱۲/۲۵ \mu\text{m}$) اتفاق افتاد. این یافته با نتایج برخی از مطالعات مشابه دیگر

ارزیابی قرار گرفت؛ تحقیق در موارد زیر ضروری به نظر

MG دو سطح مختصر و در حد ۱-۲ بود.

- بررسی Overall Fit روکشهای ساخته شده از این آلیاز

MG در گروه آلیاز وراباند۲ نمونه ها در سطح باکال و

- بررسی MG در پروتزهای ثابت Long-Span

لینگوال تفاوت معنی داری را نشان ندادند ($P=0.38$)؛ بنابراین

- مقایسه انطباق این آلیاز با آلیازهای Noble و آلیازهای

در مطالعه حاضر عامل کلار در کاهش اعوجاج در آلیاز

بیس مtal دارای بریلیوم

مینالوکس مؤثر و در آلیاز وراباند۲ بی اثر می باشد.

- بررسی روکشهایی که موجب کاهش MG این آلیاز در

در مورد این تفاوت باید ذکر کرد که در مورد آلیازهای

در مرحله اکسیداسیون می شوند.

یک گروه نمی توان یک قانون کلی را ذکر کرد؛ چنانچه دو

- بررسی و تحقیق در مورد روکشهایی که موجب

آلیاز دارای ترکیبات مشابه باشند، اما در طی مراحل حرارتی

سازگاری بیشتر این آلیاز با پرسلن می شوند.

عملکرد متفاوتی از یکدیگر را نشان دهنده، این تفاوت می تواند

- بررسی MG این دو آلیاز پس از سمان کردن

ناشی از تفاوت در زیر ساخت فلزی آنها باشد که می تواند آنها

روکشهای ساخته شده

را نسبت به تغییر شکل، مقاوم یا ضعیف نماید (۲۲).

- بررسی و تحقیق کامل در مورد سازگاری حیاتی این

با توجه به اعداد و ارقام مختلفی که محققان برای تطابق

آلیاز جهت استفاده بنیادی - کاربردی

مارژین مطلوب ذکر می کنند (۱۵، ۱۴، ۱۳) اعداد بدست آمده در

تشکر و قدردانی

مطالعه حاضر نشان داد که آلیاز مینالوکس از لحاظ تطابق

لبه ای مشابه آلیاز وراباند۲ می باشد و می توان با آلیاز

مینالوکس تطابق لبه ای بسیار مناسبی را بدست آورد.

این مطالعه با همکاری مرکز تحقیقات دندانپزشکی

به نظر نگارندگان، اعوجاج کمتر در این آلیازها را می توان

دانشکده دندانپزشکی دانشگاه علوم پزشکی تهران به انجام

به خواص فیزیکی و مکانیکی برجسته این آلیازها از جمله

رسیده است که بدین وسیله از مسؤولین و همکاران مرکز

ضریب کشسانی بالا، چگالی پایین، دامنه ذوب بالا و مقاومت

تشکر و قدردانی می گردد.

بالا نسبت به Sag نسبت داد.

در این مطالعه آلیاز مینالوکس فقط از نظر MG مورد

منابع:

- 1- Rensburg FV, Starting H. Evaluation of the marginal integrity of ceramometal restorations: Part II. J Prosthet Dent 1984; 52: 210-14.
- 2- Petteno D, Schierano G. Comparison of marginal fit of 3 different metal- ceramic systems: an in vitro study. Int J Prosthodont 2000; 13 (5): 405-8.
- 3- Silver M, Klein G. An evaluation and comparison of porcelains fused to cast metals. J Prosthet Dent 1960; 10 (6): 1055-64.
- 4- Iwashita H, Kuriki H. Studies on dimensional accuracy of porcelain to the metal coping on the porcelain fusing procedure. Shigaku 1977; 65: 110-25.
- 5- Campbell SD, Pelletier LB. Thermal cycling distortion of metal ceramics: part I- Metal collar width. J Prosthet Dent 1992; 67: 603-8.
- 6- Bridger DV, Nicholls JI. Distortion of ceramometal fixed partial dentures during the firing cycle. J Prosthet Dent 1981; 45 (5): 507-14.

- 7- Buchanan WT, Svare CW. The effect of repeated firing and strength on marginal distortion in two ceramometal systems. *J Prosthet Dent* 1981; 45 (5): 502-6.
- 8- Campbell SD, Pelletier LB. Thermal cycling distortion of metal ceramics: part II- Etiology. *J Prosthet Dent* 1992; 68: 284-9.
- 9- Moffa JP. Physical and mechanical properties of gold and base metal alloys in: Alternative to gold alloys in dentistry. Conference proceedings 1977; PP: 81-93. National Institute of Health.
- 10- Van der Zel JM. High- temperature behavior of palladium based dental alloy [Doctoral dissertation]. Amsterdam, The Nether lands: University of Amsterdam; 1989. P: 99-109.
- 11- Yamamoto M. Metal Ceramics, Principles and Methods. Chicago: Quintessence; 1985.
- 12- Christensen GJ. Marginal fit of gold inlay castings. *J Prosthet Dent* 1966; 16: 297-305.
- 13- Shillingburg HT, Hobo S, Whitsett LD, Jacobi R. Fundamental of Fixed Prosthodontics. 3rd ed. Chicago: Quintessence; 1997.
- 14- Mclean JW, Von Fraunhofer JA. The estimation of cement film thickness by an in vivo technique. *Br Dent J* 1971; 131: 107-110.
- 15- Anusavice KJ, Shen C. Interactive effect of stress and temperature on creep of PFM alloys. *J Dent Res* 1985; 64: 1099-90.
- 16- Gemalmaz D, Alkumru H. marginal fit changes during porcelain firing cycles. *J Prosthet Dent* 1995; 73: 49-54.
- 17- Mclean JW. The science and art of dental ceramics volume 1. Chicago: Quintessence; 1979.
- 18- Mclean JW. The Science and art of dental ceramics volum II: The cast ceramic crown- design. Chicago: Quintessence; 1980.
- 19- Starting H, Pameijer CH. Evaluation of the marginal integrity of ceramometal restorations. Part I. *J Prosthet Dent* 1981; 46 (1): 59-65.
- ۲۰- گرامی‌بناء، فریده؛ اکبر (اساتید راهنمای) حاج‌محمدی، محمد رضا. بررسی ارتباط Marginal Distortion و Collar در آلیاژهای بیس متال Ni-Cr-Be. پایان‌نامه دوره تحصیلی پروتزهای دندانی. شماره ت-۲۲۳. دانشکده دندانپزشکی، دانشگاه علوم پزشکی تهران. سال تحصیلی ۱۳۷۶-۷۷.
- 21- Shillingburg HT, Hobo S. Preparation design and margin distortion in porcelain- fused- to- metal restoration. *J Prosthet Dent* 1973; 29: 276-84.
- 22- Jeffries Z. The amorphous metal hypothesis and equi- cohesive temperatures. *J Am Inst Metals* 1917; 11: 300-305.